

**СДВИГ ЛИНИИ ИЗЛУЧЕНИЯ ИНЖЕКЦИОННЫХ ЛАЗЕРОВ НА ОСНОВЕ  
InSb ПРИ УВЕЛИЧЕНИИ КОНЦЕНТРАЦИИ АКЦЕНТОРНЫХ ПРИМЕСЕЙ**

С. П. Гришечкина, А. П. Шотов

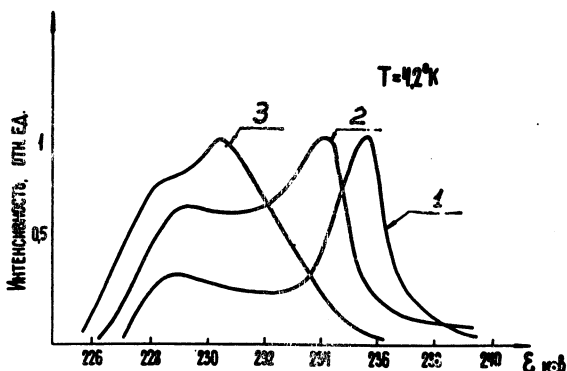
УДК 537.3II.33

Получена генерация когерентного излучения при  $T=20^0\text{K}$  при электрической инжекции носителей с помощью  $p^+-p^-$  структуры. По спектру спонтанного и когерентного излучения наблюдалось уменьшение ширины запрещенной зоны с увеличением концентрации акцепторных примесей. Показана возможность изменения в небольших пределах ( $\sim 5\%$ ) частоты лазерного излучения.

Известно, что с ростом концентрации малых водородоподобных примесей в полупроводниках наблюдается уменьшение энергии ionизации примесных уровней до их слияния с основной зоной. Исследование рекомбинационного излучения, проведенные в германии /1/ и-типа показали, что с ростом концентрации примесей наблюдается уменьшение энергии излучательных переходов зона проводимости – валентная зона при практически неизменной энергии излучательных переходов электрона с донорного уровня в валентную зону. Объяснение этого факта дано в работе /3/, где рассмотрено экранированное кулоновское взаимодействие электронов с заряженными донорами и показано, что с ростом концентрации доноров должно иметь место только изменение относительно вакуума энергии основной зоны, и практически неизменной должна оставаться энергия основного состояния донорного уровня.

В настоящей работе проведено исследование спонтанного и когерентного излучения в кристаллах InSb p-типа при электрической инжекции носителей с помощью  $p^+-p^-$  структуры. На чистых и легированных кристаллах InSb была получена генерация ко-

герентного излучения при  $T = 20^{\circ}\text{K}$  (ранее генерация наблюдалась при  $T = 4,2^{\circ}\text{K}$  /4/). По смещению линий спонтанного и когерентного излучения установлено уменьшение ширины запрещенной зоны  $E_g$  с увеличением концентрации примесей.

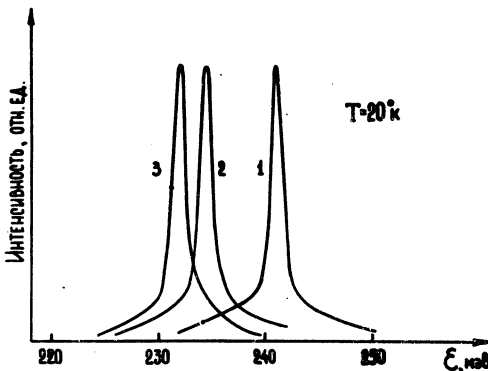


Р и с. I. Спектры спонтанного излучения образцов при  $T = 4,2^{\circ}\text{K}$  для различной концентрации акцепторов: 1 —  $2 \cdot 10^{13} \text{ см}^{-3}$ ; 2 —  $2 \cdot 10^{14} \text{ см}^{-3}$ ; 3 —  $8 \cdot 10^{15} \text{ см}^{-3}$ .

Вследствие того, что энергия ионизации малых акцепторных уровней довольно велика ( $\sim 10$  мэв), сливание примесной зоны с основной происходит при концентрациях примесных центров  $10^{17} \text{ см}^{-3}$ . Поэтому с увеличением концентрации примесей от  $10^{13} \text{ см}^{-3}$  до  $10^{17} \text{ см}^{-3}$  можно наблюдать уменьшение ширины запрещенной зоны на  $\sim 10$  мэв. Из-за большой эффективной массы плотности состояний при  $p \approx 10^{17} \text{ см}^{-3}$  даже при  $T = 4,2^{\circ}\text{K}$  вырождение носителей в валентной зоне еще не наступает. Концентрация же электронов в материале р-типа определяется уровнем инжекции, поэтому при малых уровнях инжекции можно наблюдать излучательные переходы при энергиях квантов, близких к ширине запрещенной зоны.

На рис. I предоставлены спектры спонтанного излучения образцов с концентрацией акцепторов  $N_A = 2 \cdot 10^{13} \text{ см}^{-3}$ ,  $2 \cdot 10^{14} \text{ см}^{-3}$  и  $8 \cdot 10^{15} \text{ см}^{-3}$  при  $T = 4,2^{\circ}\text{K}$  и малой концентрации инжектированных носителей. Видно, что с ростом концентрации акцепторов происходит смещение энергии максимума в спектре излучения зона — зона в длинноволновую сторону. Энергия максимума в спектре излучательно-

го перехода электрона из зоны проводимости на акцепторный уровень не изменяется с ростом концентрации акцепторов, хотя ширина спектра увеличивается. Измерения, проведенные в магнитном поле, позволяют более точно оценить изменение ширины запрещенной зоны путем экстраполяции энергии максимума в спектре излучательных переходов зона - зона к нулевому магнитному полю. Из этих измерений



Р и с. 2. Спектры когерентного излучения образцов с различным содержанием акцепторов при  $T = 20^{\circ}\text{K}$ : 1 -  $2 \cdot 10^{13} \text{ см}^{-3}$ ; 2 -  $2 \cdot 10^{15} \text{ см}^{-3}$   
3 -  $2 \cdot 10^{16} \text{ см}^{-3}$

следует, что при концентрации акцепторов  $2 \cdot 10^{13} \text{ см}^{-3}$  не происходит изменения ширины запрещенной зоны, при  $2 \cdot 10^{14} \text{ см}^{-3}$  она уменьшается на 2 мэв, а при  $8 \cdot 10^{15} \text{ см}^{-3}$  - на 4,7 мэв.

На всех этих кристаллах наблюдалась генерация когерентного излучения при  $T = 4,2^{\circ}\text{K}$  и  $T = 20^{\circ}\text{K}$ . Для количественной оценки уменьшения ширины запрещенной зоны из смещения линий когерентного излучения необходимо учитывать положение квазиволновой Ферми электронов  $F_e$  и дырок  $F_h$ , определяющих инверсионную заселенность носителей при генерации.

Измерения показали, что пороговый ток для генерации когерентного излучения (а следовательно, и положение квазиволновой Ферми) при  $20^{\circ}\text{K}$  практически не зависит от концентрации примесей вплоть до  $\sim 10^{16} \text{ см}^{-3}$ . Поэтому смещение энергетического положения линий излучения, наблюдаемое при  $T = 20^{\circ}\text{K}$ , можно объяснить изменением ширины запрещенной зоны. На рис. 2 приведены спектры когерент-

ногого излучения для трех кристаллов InSb при  $T = 20^{\circ}\text{K}$ . Видно, что с ростом концентрации акцепторных примесей от  $2 \cdot 10^{13} \text{ см}^{-3}$  линия когерентного излучения сдвигается в длинноволновую сторону приблизительно на  $\sim 10$  мэв. Этот факт может быть использован для изменения частоты лазеров в пределах  $\sim 5\%$ .

Следует заметить, что пороговый ток для генерации когерентного излучения при  $T = 4,2^{\circ}\text{K}$  существенно возрастает при увеличении концентрации акцепторных примесей  $N_A > 10^{15} \text{ см}^{-3}$ . Поэтому энергетическое положение линии излучения в этом случае определяется двумя эффектами: уменьшением ширины запрещенной зоны и ростом квази-уровня Ферми. Таким образом, при  $T = 4,2^{\circ}\text{K}$  смещение частоты когерентного излучения с ростом концентрации примесей меньше ( $\sim 2\%$ ).

Поступила в редакцию  
28 мая 1973 г.

### Л и т е р а т у р а

1. А. П. Шотов, М. С. Муратов. ФТН, 1, 573, (1967).
2. Н. А. Пенин, Б. Г. Куркин, Б. А. Волков. ФТН, 2, 9188 (1965).
3. Б. А. Волков, В. В. Матвеев. ФТН, 2, 721 (1966).
4. А. П. Шотов, С. П. Гришечкина, Е. Д. Конышовский, Р. А. Муминов. ФТН, 2, 1083 (1966); А. П. Шотов, С. П. Гришечкина, Р. А. Муминов. ФТН, 2, 2496 (1966).